

คุณค่าของเอกซเรย์ของศีรษะในการวินิจฉัยโรคเนื่องจาก ภายในช่องกระโหลกศีรษะ

นิตยา สุวรรณเวลา*

จรัส สุวรรณเวลา**

การวินิจฉัยโรคเนื่องจากภายในช่องกระโหลกศีรษะเป็นสิ่งที่ทำได้ยาก อาการทางคลินิกมีได้หลายอย่างแล้วแต่ชนิด และตัวแทนของเนื้องอก อาการอาจคล้ายคลึงกับโรคอื่น ๆ ได้มาก การวินิจฉัยจำต้องอาศัยการตรวจพิเศษต่าง ๆ ทางประสาทวิทยา ซึ่งบางอย่างหากเดินหาย บางอย่างก็ต้องใช้วิธีการและเครื่องมือพิเศษการถ่ายภาพเอกซเรย์ของศีรษะเป็นการตรวจที่กราฟทำได้ทั่วไปในโรงพยาบาลส่วนใหญ่และเป็นการตรวจที่ไม่มีอันตราย ทั้งไม่ทำให้เกิดการเจ็บปวดต่อผู้ป่วย

การใช้เอกซเรย์ของศีรษะในโรคเนื้องอกในช่องกระโหลกศีรษะนั้นได้ทำกันมานานแล้ว(7, 10) หลังจากที่ Roentgen ได้ค้นพบรังสีเอกซเรย์ เมื่อ ๒ ปี ค.ศ. ๑๘๙๗ Obici และ Bollici ได้ถ่ายภาพเอกซเรย์ของ

ศีรษะในศพเห็นเป็นบริเวณทบ ๆ ที่กระโหลกศีรษะส่วนหนึ่ง ซึ่งเมื่อขึ้นแล้วตรวจพบเนื้องอกชนิด sarcoma ในตำแหน่งนั้น ใจในระยะหนึ่งสองปี ค.ศ. Oppenheim รายงานว่า เขายสามารถดูคล่องถ่ายภาพก่อนเนื้องอกที่ว่างในสมองของศพได้ แต่ไม่สามารถแสดงได้ในคนเป็น ในเดือนเมษายน ๑๙๐๔ Church สามารถถ่ายเอกซเรย์ในผู้ป่วยเด็กอายุ ๑๕ ปี พบร่องอกที่ cerebellum และเป็นคนแรกที่เน้นการใช้วิธีการตรวจในภารวินิจฉัยโรคเนื่องอกในสมอง ต่อมมาในปี ค.ศ. ๑๙๐๑ Oppenheim ได้ให้การวินิจฉัยโรคเนื่องอกของต่อม pituitary ในผู้ป่วยที่เป็น acromegaly โดยการถ่ายภาพเอกซเรย์แล้วเห็นว่ามี sella turcica กว้างและลึก แต่นั้นมาก ได้มีการใช้ภาพเอกซเรย์ของศีรษะช่วยในการวินิจฉัยโรคเนื่องอกในช่อง

* แพทย์วังส์วิทยา ร.พ. จุฬาลงกรณ์ และคณะแพทยศาสตร์ จุฬาลงกรณ์มหาวิทยาลัย

** แพทย์ศัลยศาสตร์ ร.พ. จุฬาลงกรณ์ และคณะแพทยศาสตร์ จุฬาลงกรณ์มหาวิทยาลัย

กะโหลกศีรษะมากขึ้น และก็ได้พบลักษณะผิดปกติต่าง ๆ เพิ่มมากขึ้น

เราได้ศึกษา ลักษณะ ภาพ เอ็กซเรย์ ของศีรษะในผู้ป่วยที่เป็นเนื้องอกในช่องกะโหลกศีรษะทัพน์ในโรงพยาบาลพัฒนารักษ์ ๑๖๖ ราย เพื่อหาคุณค่าของการตรวจวินิจฉัยในการ

วินิจฉัยโรค และหาความสัมพันธ์ของลักษณะผิดปกติแต่ละอย่าง โดยศึกษาจากภาพเอ็กซเรย์ของศีรษะ ๓ ท่า คือ Caldwell's view, lateral view และ Towne's view ตารางที่ ๑ แสดงการกระจายของชนิดของเนื้องอกในผู้ป่วยในการศึกษานี้

ตารางที่ ๑ แสดงชนิดต่าง ๆ ของเนื้องอก ๑๖๖ ราย

Astrocytoma	32
Meningioma	28
Metastasis	21
Glioblastoma multiforme	18
Medulloblastoma	12
Pituitary adenoma	9
Craniopharyngioma	6
Neurinoma	5
Carcinoma of nasopharynx	5
Sarcoma	4
Ependymoma	4
Mixed glioma	4
Pinealoma	4
Hemangioblastoma	2
Eosinophilic granuloma	2
Oligodendroglioma	1
Papilloma of choroid plexus	1
Malignant lymphoma	1
Teratoma	1
Carcinoma of mastoid air cells	1
Not histologically verified	5

ผล

๑. อุบัติการ ของ ความ ผิด ปกติ ใน
ภาพเอ็กซเรย์

จากการศึกษาภาพเอ็กซเรย์ของศีรษะในผู้ป่วยโรคเนื้องอกในช่องกะโหลกศีรษะ ๑๖๖ ราย (ตารางที่ ๒) พบร่วมลักษณะ

ปกติ ๔๗ ราย หรือร้อยละ ๒๙.๕ ส่วนที่เหลือ ๑๑๙ ราย หรือร้อยละ ๗๐.๕ มีลักษณะผิดปกติให้เห็นได้ ลักษณะผิดปกติชนิดจะแบ่งได้เป็น ๒ แบบ คือ ความผิดปกติจาก การ มี ความดัน สูง ในช่องกะโหลกศีรษะอย่างเดียว พบร้อยละ ๔๕ ราย กับความผิด

ตารางที่ ๒ แสดง อุบัติการ ของความผิดปกติ ในภาพเอ็กซ์เรย์ ของศีรษะ ในผู้ป่วย ด้วยโรค
เนองอกภายในช่องกะโหลกศีรษะ ๑๖๖ ราย

	จำนวนราย	ร้อยละ *
Normal skull X-ray	49	29.5
Abnormal skull X-ray	117	70.5
a. Signs of increased intracranial pressure	55	33.1
b. Local signs	45	27.1
c. Signs of increased intracranial pressure + Local signs	17	10.2

* ร้อยละคิดจากจำนวนคนไข้ทั้งหมด ๑๖๖ ราย.

ตารางที่ ๓ แสดง ลักษณะ ผิดปกติ จากการ เพิ่มความดัน ภายในช่อง กะโหลกศีรษะ ในผู้ป่วย
๗๙ ราย *

	จำนวนราย	ร้อยละ **
Signs of increased intracranial pressure	72	
1. Erosion of posterior clinoid processes	40	56
2. Separation of cranial sutures	33	46
3. Increased convolutional markings	23	32
4. Increased vascular markings	1	2

* บางรายมีลักษณะหลายอย่างรวมกัน

** คิดจากผู้ป่วย ๗๙ รายที่มีความดันเพิ่มภายในช่องกะโหลกศีรษะ

ปกติเฉพาะที่ตรงตำแหน่งของเนื้องอกพบ
รายส่วนอีก ๑๙ ราย มีการเปลี่ยนแปลง
จากการมีความดันสูงในกะโหลกศีรษะ รวม
กับการเปลี่ยนแปลงเฉพาะที่

การมี shift ของ calcified pineal gland ซึ่งบ่งบอกว่ามี ก้อนอยู่ในส่วนหนึ่งใน
กะโหลกศีรษะ เรากับเพียง ๒ ราย

๒. ลักษณะผิดปกติจากการเพิ่ม ความดันภายในกะโหลกศีรษะ (ตาราง ที่ ๓)

เรากับมีการเปลี่ยนแปลงจากการเพิ่ม
ความดันภายในช่องกะโหลกศีรษะ ๗๒ ราย
ส่วนใหญ่เป็นการเปลี่ยนแปลงที่บริเวณ sella turcica ซึ่งพบมากในผู้ใหญ่ ระยะแรกอาจมี erosion เฉพาะที่ posterior clinoid process ซึ่งให้การวินิจฉัยยาก (ดังในรูปที่ ๑ ก.) ในระยะต่อมาอาจพบมี posterior clinoid process กวนจนแหลมและถ้าเป็นมากจริง ๆ sella turcica อาจถูกทำลายไป (ดังในรูปที่ ๑ บ.) การเปลี่ยนแปลงที่บริเวณ sella turcica บางรายพบร่วมกับการเปลี่ยนแปลงอย่างอื่น เช่น suture และการเปลี่ยนแปลงที่ sella นั้น เรากับ ๔๐ ราย หรือร้อยละ ๔๖ ของการเปลี่ยนแปลงจากการเพิ่มความดันในกะโหลกศีรษะ

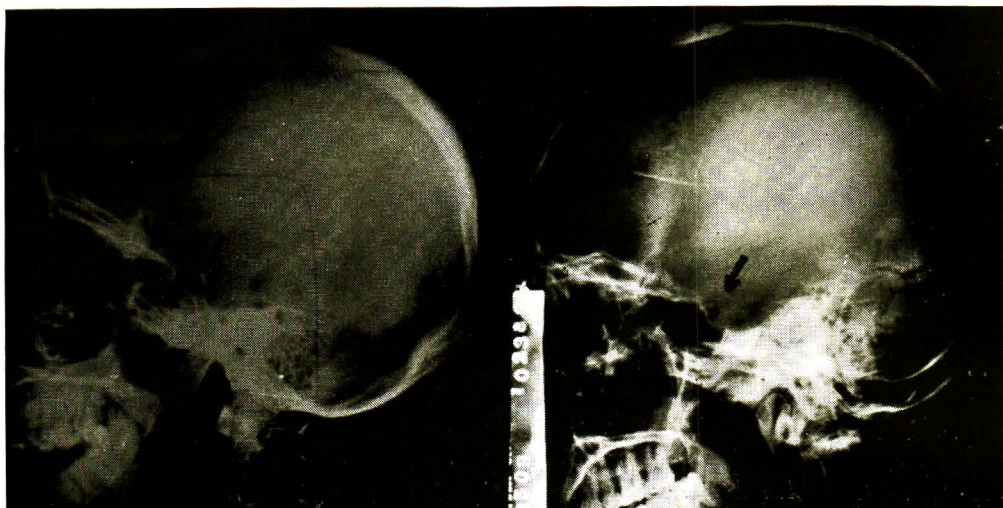
ลักษณะผิดปกติจากการเพิ่มความดันในช่องกะโหลกศีรษะ อาจปรากฏเป็นการแยกของ suture ซึ่งอาจพบร่วมกับความผิดปกติอย่างอื่นด้วย (ดังในรูปที่ ๒ ก.) เรากับมี suture และ ๓๗ รายหรือร้อยละ ๔๖ ของการเปลี่ยนแปลงจาก การมีความดันเพิ่มขึ้นภายในกะโหลกศีรษะ เป็นเด็ก ๒๗ ราย อีก ๖ รายอายุเกิน ๑๕ ปี และอายุสูงสุดที่เรางบนมี suture และคือ ๓๖ ปี

สำหรับการมี increased convolutional markings พบ ๑ ราย ปกติถือว่าไม่มีความหมาย อาจพบได้ในคนปกติ แต่ถ้าพบร่วมกับลักษณะผิดปกติอย่างอื่น เช่น มี erosion ของ sella turcica หรือมี suture และ ก็แสดงว่ามีความดันเพิ่มขึ้นในช่องกะโหลกศีรษะ มีอยู่ ๑ รายที่พบมี vascular markings เพิ่มขึ้นทั่วไป (ดังในรูปที่ ๒ บ.)

๓. ลักษณะผิดปกติเฉพาะที่ บ่งถึง

ตำแหน่งของเนื้องอก พบในผู้บวม ๖๒ ราย ดังแสดงรายละเอียดในตารางที่ ๔

Skull erosion เป็นการเปลี่ยนแปลงเฉพาะที่ที่พบมากที่สุดคือ ๔๗ ราย หรือร้อยละ ๖๗ ของการเปลี่ยนแปลงเฉพาะที่ทั้งหมด รองลงมาเป็น calcification ในเนื้องอกพบ ๑๒ ราย หรือร้อยละ ๒๐ hyperos-

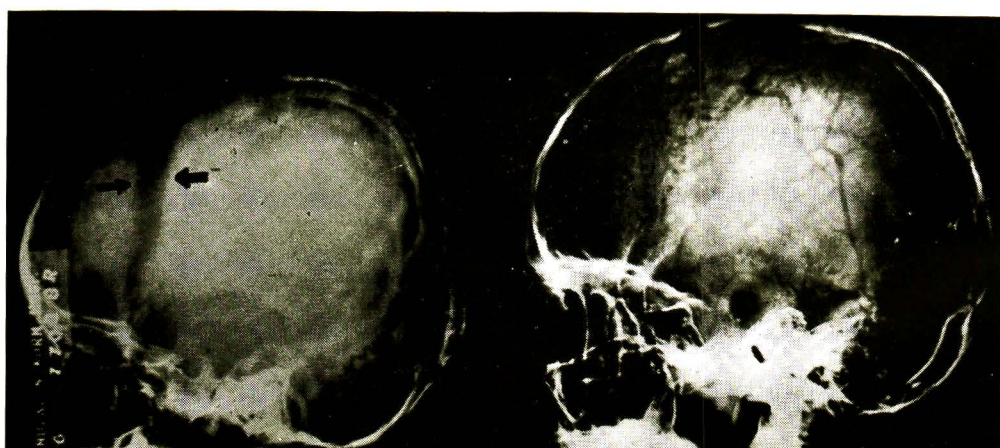


ก.

ข.

รูปที่ ๑ แสดงการเปลี่ยนแปลงที่บริเวณ sella turcica จากการเพิ่มความดันภายในช่องกะโหลกศีรษะ

ก. แสดง erosion ของ posterior clinoid process เห็นกร่อนจนแหลมในระยะแรก ๆ
ข. แสดงการทำลายของ sella turcica เมื่อความดันภายในช่องกะโหลกศีรษะเพิ่มมากขึ้น
หรือเป็นอยู่นาน



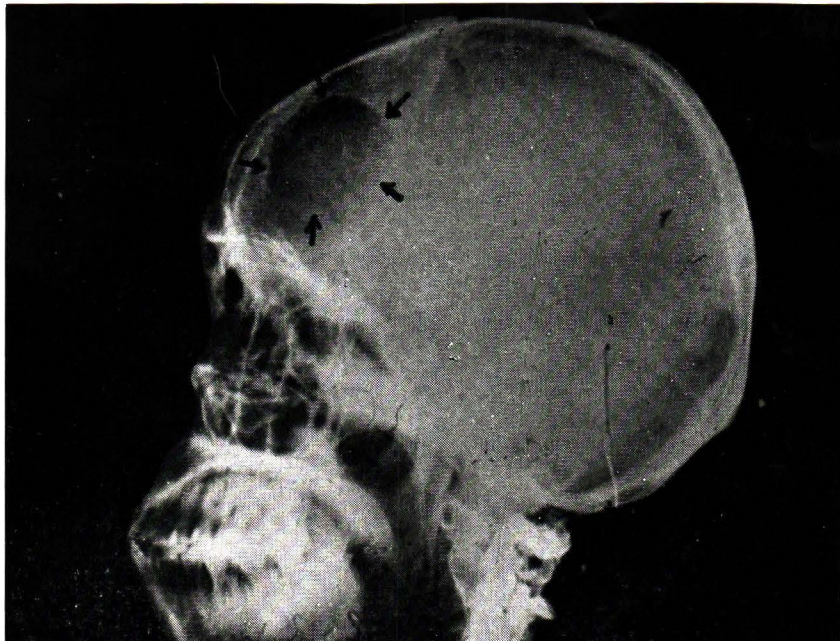
ก.

ข.

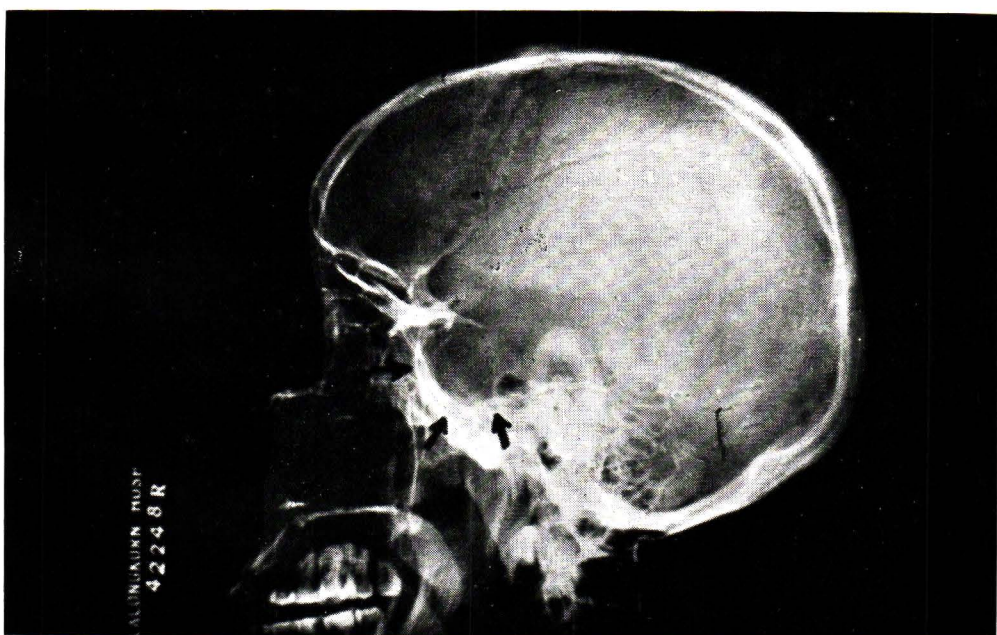
รูปที่ ๒. แสดงลักษณะผิดปกติจากการเพิ่มความดันภายในกะโหลกศีรษะ

ก. แสดงการแยกของ suture

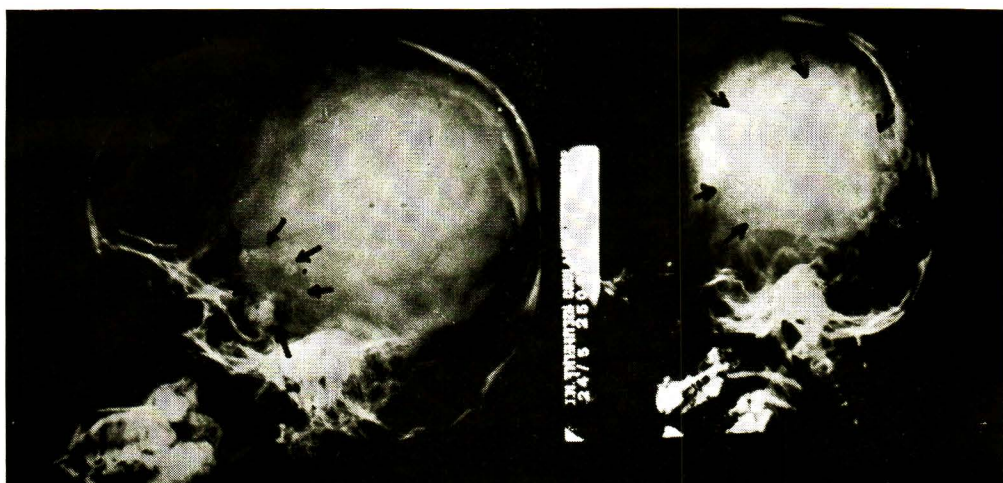
ข. แสดงการมี vascular markings เพิ่มมากขึ้นกว่าไปทั้งกะโหลกศีรษะ



รูปที่ ๓. แสดง bone erosion ตรงตำแหน่งของเนื้องอก meningioma ที่อยู่ในช่องกะโหลกศีรษะออกมา



รูปที่ ๔. แสดง erosion ของ sella turcica ใน pituitary adenoma เนื่องจาก sella turcica มีขนาดใหญ่ขึ้น floor และ posterior clinoid process ถูกทำลายไป



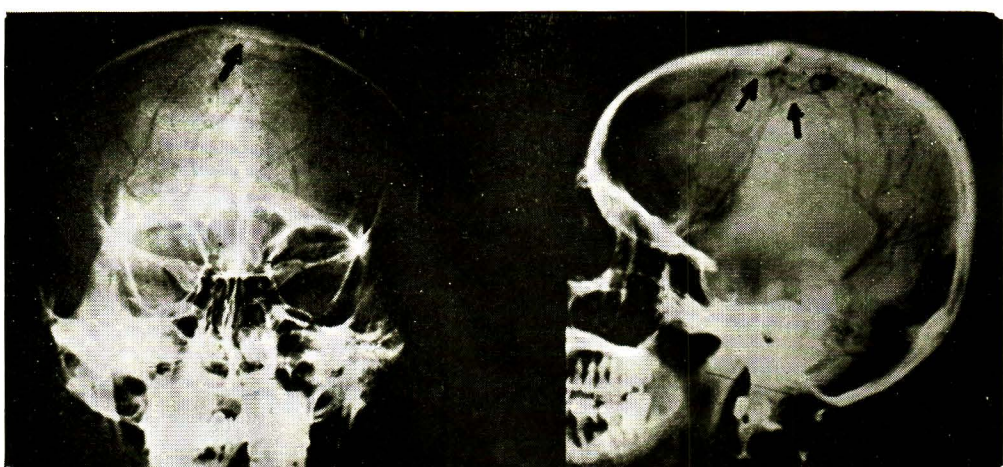
ก.

ก.

รูปที่ ๕. แสดง calcification ในก้อนเนื้องอก

ก. Calcification บริเวณ supra sellar ใน craniopharyngtoma เห็นเป็นจุดขาว ๆ

ข. Calcification ใน astrocytoma



รูปที่ ๖. แสดง hyperostosis บริเวณ frontoparietal ใกล้ mid line ใน meningioma เห็นกระดูกหนาขึ้น และมี vascular markings เพิ่มขึ้นในบริเวณนั้นด้วย

tosis ของกะโหลกศีรษะพบ ๑๙ ราย หรือร้อยละ ๑๘ มี vascular markings เพิ่มขึ้นเฉพาะที่ ๔ ราย หรือร้อยละ ๖ ของการเปลี่ยนแปลงเฉพาะที่

๓.๑ **Bone erosion** เป็นการเปลี่ยนแปลงเฉพาะที่พบได้มากที่สุดรวมร้อยละ ๒๕ ของเนื้องอกทั้งหมด หรือร้อยละ ๖๗ ของการเปลี่ยนแปลงเฉพาะที่ meningioma บางรายมี bone erosion ครองตำแหน่งของเนื้องอกร่วมกับ hyperostosis แต่บางรายก็มี erosion ของ inner table มีอยู่ ๒ รายที่มี erosion ทั่วไปของกะโหลกศีรษะอ่อน化 (ดังในรูปที่ ๑) ใน parasagittal meningioma เห็นมกรดูกigranulation อยู่ใกล้กับ midline

Pituitary adenoma ที่ chromophobe และ acidophilic ให้การวินิจฉัยโดยมีขนาดของ sella โตขึ้นและมี erosion ของ sella ดังในรูปที่ ๔ นับเป็นเนื้องอกที่เอกสารเรียนของศีรษะได้ผลมากที่สุด

Glioma ทำให้เกิด skull erosion มี ๓ ราย เป็น astrocytoma ที่ ๓ รายมีกระดูกบริเวณหนอกอน เนื้องอกบาง จนทะลุคนไข้เป็น astrocytoma ของ cerebellum ซึ่งมีอาการอุญัติ ป้อกрайหนึ่งเป็น astrocytoma ของ optic nerve เห็นมี enlargement และ erosion ของ optic foramen

Bone erosion นอกจากที่กล่าวมาแล้วก็ยังพบในเนื้องอกชนิดต่อน ๆ (ดังในตารางที่ ๔) craniopharyngioma มี erosion ของ posterior clinoid process ร่วมกับ suprasellar calcification acoustic tumor ทำให้เกิด erosion ของ internal auditory canal metastasis นับเฉพาะที่มีอาการทางสมองพบ ๑๔ ราย มีอยู่ ๕ รายที่มี erosion หลายแห่งในกะโหลกซึ่งสถาบันแห่งเดียวกันแยกออกจากกันอย่างถอน

๓.๒ **Calcification** ในเนื้องอก พบ

๑๒ ราย หรือร้อยละ ๗ ของเนื้องอกทั้งหมด (ตารางที่ ๖) แสดงชนิดของเนื้องอกที่พบมี calcification ในก้อนเนื้องอกให้เห็นในภาพเอกซเรย์

ใน craniopharyngioma ๖ ราย พbm calcification ที่ ๖ รายที่บริเวณ suprasellar region มีลักษณะเป็นจุดหรือเป็นวงโคจร (ดังในรูปที่ ๔ ก.)

ใน astrocytoma ๗ ราย พbm calcification ๓ ราย หรือร้อยละ ๙ (ดังในรูปที่ ๔ บ.) pinealoma พbm calcification ๓ ใน ๔ ราย

ตารางที่ ๔ แสดงลักษณะผิดปกติในผู้ป่วย ๖๒ ราย*

	จำนวนราย	ร้อยละ **
Local signs	62	
1. Skull erosion	43	69
2. Calcification in tumor	12	20
3. Hyperostosis of skull	11	18
4. Locally increased vascular markings	4	6

* บางรายมีลักษณะหลายอย่างรวมกัน

** กิตจากผู้ป่วย ๖๒ ราย ที่มีความผิดปกติเฉพาะที่

ตารางที่ ๕ แสดงชนิดของเนื้องอกที่พบมีการกรองของกะโหลกศีรษะให้เห็นในภาพเอ็กซเรย์

Erosion of skull	43 ราย
Metastasis	15 ราย
Pituitary tumor	12 ราย
Meningioma	7 ราย
Craniopharyngioma	4 ราย
Glioma	3 ราย
Acoustic tumors	2 ราย

ตารางที่ ๖ แสดงชนิดของเนื้องอกที่พบมี Calcification ในก้อนเนื้องอก ให้เห็นในภาพเอ็กซเรย์

Calcification in tumor	12 ราย
Craniopharyngioma	6 ราย
Astrocytoma	3 ราย
Pinealoma	3 ราย

๓.๓ Hyperostosis ของกะโหลก

ศีรษะ พบร ๑๖ ราย หรือร้อยละ ๙๘ ของ การเปลี่ยนแปลงเฉพาะที่ ทุกราย เป็น meningioma เห็นเป็นบริเวณกระดูกหน้าที่บน ในรูปที่ ๖ เห็นกระดูกหน้าที่บนในบริเวณ frontoparietal และมี increased vascular marking ในบริเวณด้วย

๔. ลักษณะผิดปกติที่พบในเนื้องอกกลุ่มต่างๆ (ตารางที่ ๗)

ในเนื้องอกต่างชนิดกัน เอ็กซเรย์ของ ศีรษะก็ให้ลักษณะต่างๆ กัน พวກ malignant

ตารางที่ ๗ แสดงการเปรียบเทียบอัตราต่อการของลักษณะผิดปกติแบบต่างๆ ที่พบในผู้ป่วยด้วย เนื้องอกกลุ่มต่างๆ

	จำนวนราย	ภาพเอ็กซเรย์ ปกติร้อยละ	ความผิดปกติ จากการ ความคันเพม ชนในกะโหลก ศีรษะร้อยละ	ความผิดปกติ เสพะที่ ร้อยละ	ความผิดปกติ จากการ ความคันเพมชน ในกะโหลก ศีรษะ + ความ ผิดปกติเฉพาะที่ ร้อยละ
Malignant supratentorial tumor	32	63	31	3	3
Benign extracerebral tumor	52	13	18	46	23
Malignant infratentorial tumor	40	20	75	2.5	2.5
Benign glioma	26	27	57	8	8

supratentorial tumor พบร ๒๕% เอ็กซเรย์ผิดปกติร้อยละ ๗๗ พวກ benign extracerebral tumor ภาพเอ็กซเรย์ผิดปกติร้อยละ ๙๗ พวກ malignant infratentorial tumor ภาพเอ็กซเรย์ผิดปกติร้อยละ ๙๐ และ benign glioma ภาพเอ็กซเรย์ผิดปกติร้อยละ ๗๓

๕. ลักษณะผิดปกติในภาพเอ็กซเรย์ ของกะโหลกศีรษะในกลุ่มผู้ป่วยเด็ก และผู้ใหญ่ (ตารางที่ ๘)

ในผู้ใหญ่ ๑๒๗ ราย พบร ความผิดปกติ ในเอ็กซเรย์ทั้งหมด ๙๐ ราย หรือร้อยละ

ตารางที่ ๙ เปรียบเทียบกักษณ์ผลิตปัจจุบันผู้วายเด็กและผู้ใหญ่ มีอยู่ ๑๗ ราย (ผู้ใหญ่ ๑๐ รายและเด็ก ๗ ราย) หมายถลักษณ์ผลิตปัจจุบันจากความคิดเห็นสูงสุดในกลุ่ม และลักษณ์ผลิตปัจจุบันเฉพาะที่

	รวม (ราย)	ผู้ไข้หน่วย (ราย)	เด็ก (ราย)
จำนวนผู้ป่วย	166	128	43
1. ภาพเอ็กซเรย์ปอด	49	43	6
2. Signs of increased intracranial pressure	72	40	32
– Erosion of sella	40	36	4
– Separation of sutures	33	6	27
– Increased convolutional markings	23	4	19
– Increased vascularity	1	1	0
– Enlarged head	1	0	1
3. Local signs	62	51	11
– Calcification in tumor	12	4	8
– Local bone erosion	25	21	4
– Local erosion of sella	18	16	2
– Hyperostosis	11	11	0
– Increased vascularity	4	4	0

๗๑ ในเด็กอายุต่ำกว่า ๑๔ ปี พบรดีโอซีเรย์
ผิดปกติ ๗๗ ราย หรือร้อยละ ๕๙ ในผู้ใหญ่
ความผิดปกติจากการมีความดันเพิ่มน้ำใน
กะโหลกศีรษะ ใกล้เคียงกับความผิดปกติ
เฉพาะที่ แต่สำหรับเด็กการเปลี่ยนแปลง
น่องจากมีความดันเพิ่มน้ำในกะโหลก
ศีรษะมีมากกว่าการเปลี่ยนแปลงเฉพาะที่

๖. ลักษณะพิเศษปกติที่พบในภาพ
เอกสารรายของผู้บ่าวด้วยเนื่องจากในช่อง
ลงทะเบียนชื่อจะบางชนิด (ตารางที่ ๙)

ในโกรคน่องอก meningioma ๒๖ ราย
เฉพาะบมีภาพเอ็กซ์เรย์ผิดปกติ ๒๔ ราย หรือ
ร้อยละ ๙๒ ใน glioblastoma multiforme
พยากรณ์ระยะผิดปกติพึง ๑๓ ราย ปัจจุบัน ๑๗ ราย

ตารางที่ ๕ เปรียบเทียบถ้าจำนวนผู้ป่วยด้วยเนื้องอกชนิดต่าง ๆ
ของแต่ละกลุ่มและผลลัพธ์ที่พบในภาพเอกซเรย์ของผู้ป่วย

บางข้อด

	Meningioma	Glioblastoma multi forme	Pituitary adenoma	Medulloblastoma	Craniopharyngioma
จำนวนผู้ป่วย	26	18	9	12	6
1. ภาพเอ็กซเรย์ปกติ	2	21	0	0	0
2. Signs of increased intracranial pressure	12	5	0	12	4
– Erosion of sella	11	3	0	0	0
– Separation of sutures	0	2	0	12	2
– Increased convolutional markings	0	0	0	7	3
– Increased vascularity	0	0	0	0	0
– Enlarged head	0	0	0	0	0
3. Local signs	16	1	9	0	6
– Calcification in tumor	0	0	0	0	6
– Local bone erosion	5	0	0	0	0
– Local erosion of sella	2	0	9	0	4
– Hyperostosis	11	0	0	0	0
– Increased vascularity	3	0	0	0	0
– Pineal shift	0	1	0	0	0
4. Signs of increased intracranial pressure+ Local sign	4	4	0	0	4

สำหรับ pituitary adenoma พนกการเปลี่ยนแปลงที่ sella turcica ซึ่งเป็นการเปลี่ยนแปลงเฉพาะที่ทุกรายต่างกับ medulloblastoma ซึ่งภาพเอกซเรย์ผิดปกติทั้ง ๒ ราย แต่เป็นการเปลี่ยนแปลงจากการมีความดันเพิ่มมากขึ้นในช่องกะโหลกศีรษะ สำหรับ craniopharyngioma ๖ ราย พนกการเปลี่ยนแปลงเฉพาะทั้ง ๖ ราย และมี calcification ให้เห็นได้ทุกราย

วิจารณ์

๑. ความสามารถในการบอกร่วม ความผิดปกติเกิดขึ้นในช่องกะโหลก ศีรษะ

จากการศึกษาภาพเอกซเรย์ของศีรษะเพื่อหาอุบัติการของความผิดปกตินี้เราพบว่า มีลักษณะผิดปกติ ๑๙ ราย จากเนื้องอก ๔ ทั้งหมด ๑๖๙ ราย หรือร้อยละ ๗๐.๔ เปรียบเทียบกับการศึกษาของ Gilbertson⁽⁷⁾ ศึกษาภาพเอกซเรย์ของเนื้องอก ๖๖๑ ราย พนกมีความผิดปกติให้เห็นร้อยละ ๖๔ จะเห็นว่าใกล้เคียงกัน การพูดความผิดปกติมากันอยู่นักก่อนจะมีข้อบ่งชี้ของเนื้องอกด้วย เพราะบางชนิดก็ให้การเปลี่ยนแปลงที่เห็นได้ชัดเจนเช่นมี calcification หรือ bone erosion ให้เห็นสำหรับรายงานต่าง ๆ

รูปร่วมชนิดของเนื้องอกไม่เหมือนกัน ดังนี้ Gilbertson⁽⁴⁾ ได้รวมมา porencephalic cyst และ tuberculoma เป้าไว้ในเนื้องอกด้วย นอกจากการเปลี่ยนแปลงของกะโหลกศีรษะก็ยังขอนอยู่กับระยะเวลาของ การเป็นโรคด้วยในส่วนของการอุดยูนานกว่าจะมาถ่ายเอกสารของศีรษะก็จะยอมจะมีการเปลี่ยนแปลงให้เห็นชัดเจนว่าในผู้บุญที่มารับการรักษาในระยะแรกของโรค

๒. ขอบเขตความดันเพิ่มขึ้น

ภายในกะโหลกศีรษะ

เราพบมีความผิดปกติจากการเพิ่มความดันภายในกะโหลกศีรษะร้อยละ ๕๗ ของเนื้องอกทั้งหมด ในผู้ใหญ่พบมีการเปลี่ยนแปลง ๔๐ ราย ในผู้ใหญ่ทั้งหมด ๑๖๓ ราย หรือร้อยละ ๗๖ ส่วนในเด็กพบการเปลี่ยนแปลงเห็นได้เร็วกว่า เพราะเนื่องจากของเด็กส่วนใหญ่อยู่ที่บริเวณ posterior cranial fossa ทำให้เกิดการอุดตันของทางเดินของน้ำสมอง ไปสันหลังจึงทำให้ความดันภายในกะโหลกศีรษะเพิ่มขึ้นเรื่อยๆ

๒.๑ การเปลี่ยนแปลงบริเวณ sella turcica. Du Boulay⁽⁶⁾ พบว่าการเกิด erosion ของ sella turcica นั้นจะต้องมีความดันภายในกะโหลกศีรษะเพิ่มขึ้นเป็นเวลา

อย่างน้อย ๔-๖ สปีด้าห์ และรากหนานในสามของคนไข่ที่มีความต้นเพมขึ้นภายในกะโหลกศีรษะจะมีการเปลี่ยนแปลงนี้ ความเปลี่ยนแปลงแรกสุดจากการมีความต้นเพมขึ้นภายในกะโหลกศีรษะคือมีข้อบกพร่องด้านในของ sella turcica บริเวณด้านหน้าของ dorsum sellae บางลงไป ระยะต่ำมา floor ถูกทำลาย ซึ่งมี floor ของ sella turcica บางลง sella มีขนาดใหญ่ขึ้น ทำเป็นนานาๆ dorsum sellae อาจบางลงไปด้วย รวมทั้ง atrophy ของ anterior clinoid process ด้วย

ในระยะแรกมีการเปลี่ยนแปลงน้อยท่าให้บอกรักษาและต้องแยกจากคนปกติซึ่งอาจมี posterior clinoid process บางได้โดยเฉลี่ยในคนแก่หรือคนทึบกะโหลกศีรษะบาง ในคนปกติอาจพบมี posterior clinoid process บางได้ร้อยละ ๐.๑⁽¹⁴⁾ dorsum sellae บางอาจพบร่วมกัน alcoholism และในคนไข่ที่มีความต้นเพมขึ้นมากในกะโหลกศีรษะเป็น

ในพวกรากหนานการเปลี่ยนแปลงของกระดูกทวารไปอ้าจะพบมี posterior clinoid processes และ sella turcica บางไปด้วยเข่นใน hyperparathyroidism หรือในรายที่มี adrenal cortical activity เพมขึ้น การเปลี่ยนแปลง sella turcica บางครั้งอาจแยกจากจากการมีโรคใน sella เช่นใน

pituitary adenoma หรือโรคบริเวณใกล้เชิงซันการมี third ventricle พองติดหรือมีเนองอก craniopharyngioma

๒.๒ การมี suture แยก เรากnow ฉะนั้น ๙๐% ของเนองอกทั้งหมด สำหรับรายงานของ Gilbertson⁽⁷⁾ พบร้อยละ ๙ ส่วนของ Kornblum พบร้อยละ ๕.๖ ส่วนใหญ่เราพบในเด็ก ๒๗ ใน ๔๗ รายของเนองอกในเด็ก หรือร้อยละ ๖๗ ในคนอายุเกิน ๑๕ ปี เรากพบเพียง ๖ ราย จากเนองอกทั้งหมด ๑๒๓ ราย อายุสูงสุดที่พบมี suture แยกกัน ๓๖ ปี โดยทั่วไปการมี suture แยกกันพบในเด็กอายุต่ำกว่า ๑๐ - ๑๒ ปี^(6,12) ในผู้ใหญ่พบได้น้อย และคิดว่าการทบทวนการแยกของ suture ในผู้ใหญ่คงจะเกิดจากภารมีความต้นเพมขึ้นภายในกะโหลกศีรษะเป็นระยะเวลานาน คือก่อนที่ suture จะตัดแยก หรือมีฉันนกจากการทั่วไปความผิดปกติของ suture ที่ตัดไม่แน่นทำให้แยกได้ Taveras⁽¹²⁾ กล่าวไว้ว่า ระยะเวลากว่า ๕ ปี ให้เกิด suture และจากการมีความต้นเพมขึ้นภายในกะโหลกศีรษะ คือ ๔ - ๑๐ สปีด้าห์ หรือเฉลี่ยราว ๓๐ วัน

๒.๓ เปรียบเทียบในคนไข้ผู้ใหญ่และเด็ก จะพบว่ามีข้อบ่งชี้มีความต้นเพมขึ้นภายในกะโหลกศีรษะไม่เท่ากัน คือใน

ผู้ใหญ่ ๑๒๙ ราย พบมการเปลี่ยนแปลง ๔๐ ราย หรือร ๗๕ แต่ในเด็กมีความผิดปกติ ให้เห็นว่ามีความดันเพิ่มมากขึ้นในช่องกระดูกศรีษะมากกว่าผู้ใหญ่ ทั้งนี้อาจเป็น เพราะในเด็กการมี suture แยก เกิดได้ ในระยะเวลาเร็วว่าการเกิดการเปลี่ยนแปลง บริเวณ sella turcica และชนิดและตำแหน่งของเนองอกแตกต่างกัน

๓. ความสามารถในการบอกร่างกาย

ของเนองอก

ในการศึกษาและวิเคราะห์ในสามของคนไข้ทั้งหมด เรายังสามารถบอกร่างกายของเนองอกได้ มีการเปลี่ยนแปลงเฉพาะที่โครงร่างบอกร่างกายของเนองอก ความเปลี่ยนแปลงนั้นบางอย่างชัดเจน แต่บางอย่างส่วนใหญ่จากสาเหตุอื่น ๆ ทั้งในภาวะปกติ และที่เกิดจากโรคอื่น ๆ เช่นในรายที่มีการบ้างหรือรุนแรงของกะโหลกศรีษะก็ต้องแยกจากภาวะปกติ เช่น parietal thinning หรือ venous impression หรือจากมีกะโหลกกร่อนโดยไม่พบรอยที่จะแสดงถึงแยกจากโรคอื่น ๆ เช่น osteomyelitis, reticuloendotheliosis, fibrous dysplasia

การมี calcification ก็ต้องแยกจาก physiologic calcification เช่น pineal

body, choroid plexus หรือจากโรคอื่น ๆ เช่นจาก parasite หรือ old encephalitis การมีกะโหลกศรีษะหนาขึ้น อาจต้องแยกจากภาวะปกติ เช่น hyperostosis frontalis interna หรือจากโรคที่ทำกะโหลกศรีษะหนาขึ้น

เราพบมการเปลี่ยนแปลงเฉพาะที่ช่วยในการบอกตำแหน่งของเนองอก ๖๒ รายจากเนองอกทั้งหมด ๑๖๖ ราย หรือร ๔๘%

๔. ข้อมูลชนิดของเนองอก

ถ้าจะนับผิดปกติบางชนิดที่พบในภาพเอ็กซเรย์ของกะโหลกศรีษะ พบได้เป็นพิเศษในเนองอกบางอย่าง ทำให้สามารถระบุในภาวะนี้จะมีชนิดของเนองอกได้ เช่น pituitary adenoma เราพบมี sella turcica โตกและ ballooning ทุกราย ในต่างประเทศ Sosman พบมี sella โตขึ้นร้อยละ ๘๐ และ Gilbertson⁽⁷⁾ พบรรยาย ๙๕ การเปลี่ยนแปลงของจากสาเหตุ เช่นจากการมีความดันเพิ่มขึ้นภายในกะโหลกศรีษะ การมี third ventricle พองโตหรือจากการมี intrasellar cistern^(2,3) และสาเหตุอื่น ๆ ที่ทำให้เกิดการเปลี่ยนแปลงบริเวณ

ใน craniopharyngioma เราพบมี suprasella calcification ทั้ง ๖ ราย Ba-

rnnett⁽³⁾ ได้ศึกษา craniopharyngioma ๖๔ ราย พวກ Calcification ร้อยละ ๗๓ ส่วน Gilbertson⁽⁷⁾ พบร้อยละ ๙๘ ของ craniopharyngioma มี calcification และ cushioning⁽¹⁾ พบร้อยละ ๙๐ และ Lindgren พบร้อยละ ๕๕ ผลที่ได้แตกต่างกันบ้างอาจ因於 จำกจำนวนคนไข้ craniopharyngioma ของเรายังน้อย โรคอื่นๆอาจมีให้ก็จะมีคล้ายๆ กัน craniopharyngioma ได้แก่ chordoma, pituitary adenoma ที่มี calcification glioma ที่มี calcification และ aneurysm ของ internal carotid artery

ใน parasagittal meningioma อาจพบ มี hyperostosis ของกะโหลกในบริเวณนั้น บางครั้งพบร่วมไปกับการมี bone erosion ด้วยเช่นเดียวกับ sphenoid ridge meningioma มาก hyperostosis ของ sphenoid bone ใน meningioma ๒๖ ราย เรากพบ มี hyperostosis ๑๖ ราย หรือร้อยละ ๕๒ ในรายงานของ Gilbertson⁽⁷⁾ พบร้อยละ ใน meningioma รากหัวงูในสาม Jacobson⁽⁸⁾ พบร้อยละ localized hyperostosis ๔๑ รายใน meningioma ๑๗๐ รายหรือ ร้อยละ ๑๔ ส่วนในรายงานของ Banna⁽²⁾ พบร้อยละ ร้อยละ ๑๙ Banna ได้แยก bone reaction ที่พบใน meningioma

เป็นแบบต่างๆ กันตามลักษณะที่เห็นในเอกซเรย์ คือ

๑. กระดูกลักษณะปกตินอกจากมี vascularity มาก
๒. มี enostosis เฉพาะที่
๓. มี external hyperostosis
๔. มี bone formation ที่ outer และ inner tables
๕. Meningioma en plaque
๖. Osteoclastic hyperostosis
๗. Pressure absorption โดยไม่มี tumor invasion

Pinealoma พบร้อยละ calcification ๗ ใน ๔ ราย สำหรับคนไทยตามที่ศึกษาและรายงานไว้แล้ว⁽¹⁵⁾ ยังไม่เคยพบมี calcification ของ pineal gland ที่ปกติในเด็ก อายุต่ำกว่า ๑๕ ปีเลย จะนับถือว่า calcification ในตำแหน่งของ pineal ในเด็ก ต้องสงสัยว่าเป็นเนื้องอก

สรุป

ในคนไข้ที่เป็นเนื้องอกภายในช่องกะโหลกศีรษะ ประมาณหนึ่งในสามภาพเอกซเรย์ของศีรษะมีการเปลี่ยนแปลงเฉพาะที่ช่วยบอกตำแหน่งของเนื้องอกได้อกหนึ่งในสามมีลักษณะของความดันเพิ่มขึ้นภายใน

ศรีษะและอวัยวะหนึ่งในสามเอกของกระดูกศีรษะไม่พบการเปลี่ยนแปลง สำหรับ benign tumors อัตราการผิดปกติเห็นได้สูงกว่า ในผู้ป่วยที่ทำการทางคลินิกสูงกว่า ๕๐% เมื่อ Jongkarn ในสมอง การถ่ายภาพเอกซเรย์ของกระดูกศีรษะจะเป็นการตรวจที่มีประโยชน์มากในการช่วยบ่งชี้ให้ทำการตรวจค้นต่อไปได้ถูกทาง

References

1. Bailey, P. Intracranial Tumors. Charles C. Thomas, Springfield, Ill. 1947.
2. Banna, M. and Appleby A. Some observations on the angiography of supratentorial meningiomas. Clinical Radiology. 10: 375 – 386, 1969.
3. Barnett, D.J. Radiologic aspects of craniopharyngiomas. Radiology. 72: 14 – 18, 1959.
4. Camp, J.D. Significance of intracranial calcification in the roentgenologic diagnosis of intracranial neoplasms. Radiology. 55: 659 – 668, 1950.
5. Chynn, K. Neuroradiologic exploration in intra and parasellar conditions. The Radiologic Clinics of North America, 1966, p. 93 – 115.
6. Du Boulay, G.H. Principles of X-ray diagnosis of the skull. Butterworth & Co. (Publishers) Ltd. 1965.
7. Gilbertson, E.L. and Good, C.A. Roentgenographic signs of tumors of the brain. Am. J. Roentgenol. & Radiol. Therapy. 76: 226 – 247, 1956.
8. Jacobson, H.G., Lubetsky, H.W., Shapiro, J.H. and Carton, C.A. Intracranial meningiomas: A roentgen study of 126 cases. Radiology. 72: 356 – 367, 1959.
9. New, P.F.J. The sella turcica as a mirror of disease. The Radiologic Clinics of North America. 1966, p. 75 – 92.
10. Pendergrass, E.P., Schaeffer J.P. and Hodes P.J. The head and neck in roentgen diagnosis. Second edition. Charles C. Thomas Publisher. Springfield Illinois.
11. Prager, D. and Knecht, C.L. "Punched-out" lesions of the calvarium. No disease found, Radiology. 93: 1337 – 1340, 1969.
12. Taveras, J.M. and wood, E.H. Diagnostic neuroradiology. The williams & wilkins Company. Baltimore. 1964.
13. Zatz, L.M., Janon, E.A. and Newton, T.H. The enlarged sella and the intrasellar cistern. Radiology, 97: 1085 – 1091, 1969.
14. ธรรมนูญ กะลังพเหติ ติดต่อส่วนตัว.
15. จรัส สุวรรณเวดา, ธรรมนูญ จารุวัร และ ศิริวัต ธรรมจันดา The incidence of calcified pineal at Chulalongkorn Hospital พสก. 49 : 11, 1966,